

Bassin Rhône-Méditerranée

Situation des ressources en eaux souterraines fin Mars 2015

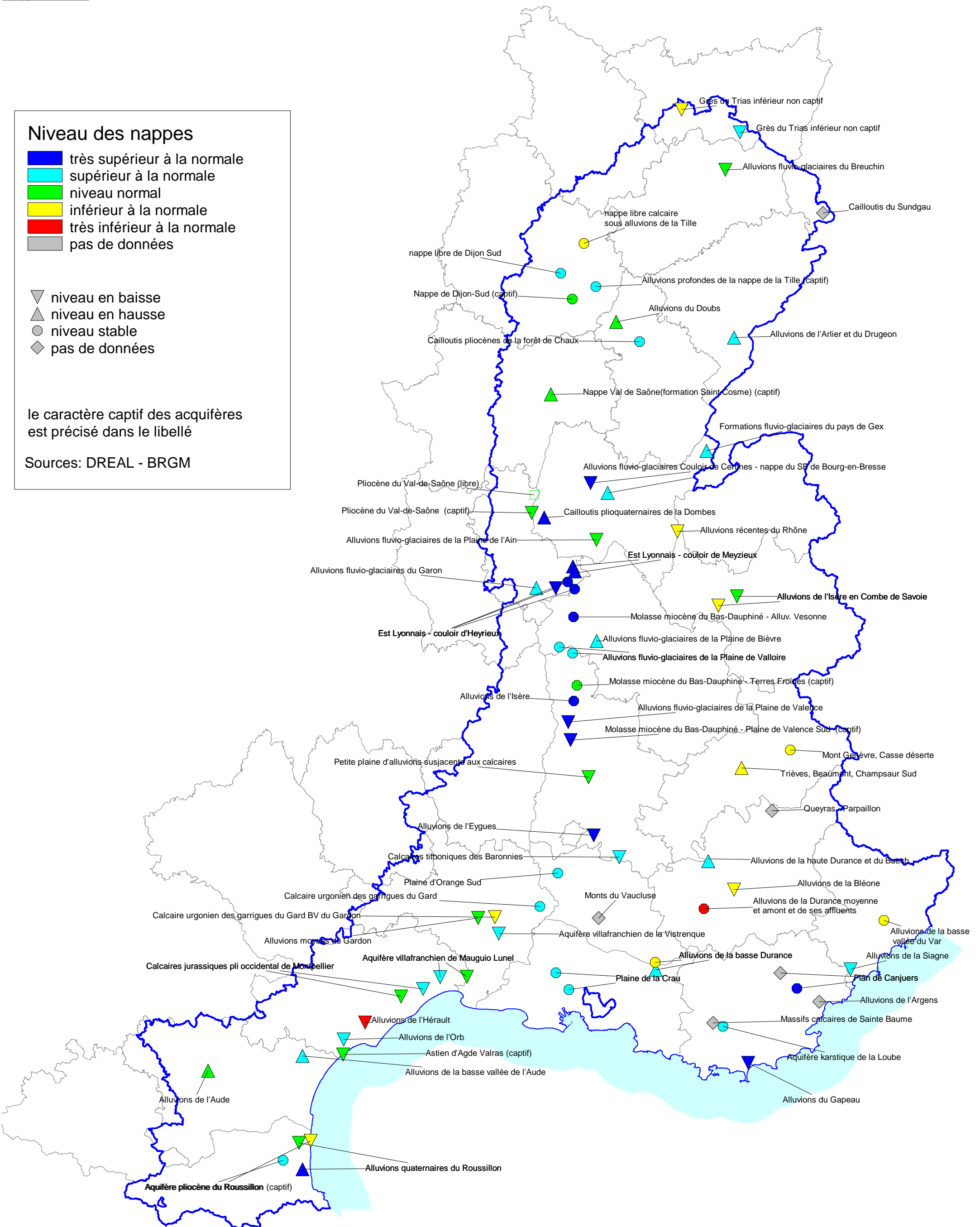
Niveau des nappes

- très supérieur à la normale
- supérieur à la normale
- niveau normal
- inférieur à la normale
- très inférieur à la normale
- pas de données

- ▼ niveau en baisse
- ▲ niveau en hausse
- niveau stable
- ◆ pas de données

le caractère captif des aquifères est précisé dans le libellé

Sources: DREAL - BRGM



BSH - Indicateurs Ponctuels (IP) du bassin Rhône-Méditerranée

Etat au : **1er avril 2015**

Relais bassin : DREAL bassin Rhône-Méditerranée

Producteurs(s) : BRGM et DREAL(s)

Niveau des nappes :

Code	Signification
5	Très supérieur à la normale
4	Supérieur à la normale
3	Niveau normal
2	Inférieur à la normale
1	Très inférieur à la normale
0	Indéterminé

Evolution

Code
H = Hausse
S = Stable
B = Baisse
Indéterminé



Code BSS (indice / désignation)	Région	Dépt.	Commune	Lieu-dit (ou nom du point)	Lambert 2 Etendu (m)		Entité hydrogéologique (Réf BDRHF v1)	
					X	Y	Nom	Code
03387X0040/S	LOR	88	RELANGES	piezomètre Srael de Relanges	872 960	2 353 300	Grès du Trias inférieur non captif	210b
03754X0015/F2	LOR	88	PLOMBIERE les Bains	F2 dit source La Napoléonienne	906 710	2 340 000	Grès du Trias inférieur non captif	210b
04447X0028	FRC	90	FLORIMONT	Etang Fourchu	955 010	2 293 220	Cailloutis du Sundgau	173
05553X0009	FRC	39	OUSSIÈRE	Oussière	848 465	2 218 410	Cailloutis plocènes de la forêt de Chaux	104a
05285X0374	FRC	39	MOLAY	Tavaux	834 860	2 229 830	Alluvions du Doubs	102
05573X0084	FRC	25	DOMMARTIN	Houtaud	903 460	2 220 820	Alluvions de l'Arlier et du Drugeon	94i
04103X0022	FRC	70	BREUCHES	Forage C	898 290	2 318 270	Alluvions fluvio-glaciaires du Breuchin	85
05007X0014	BOU	21	COLLONGES LES PREMIERES	Les Champs Courbes	823 040	2 250 420	Alluvions profondes de la nappe de la Tille	174a
04994X0229	BOU	21	CHENOVE	Gendarmerie	802 730	2 258 070	Nappe libre de Dijon Sud	174 b
05271X0017	BOU	21	IZEURE	La plantation F9	809 500	2 243 140	Nappe de Dijon-Sud	174b
04702X0019	BOU	21	SPOY	Les Espeliers	816 100	2 275 557	Nappe libre calcaire sous alluvions de la Tille	99 a
05797X0145	BOU	71	SAINT CYR	Le Petit Chorme de Vieil Moulin	796 970	2 187 840	Nappe Val de Saône(formation Saint Cosme)	174g
06288X0096/SB	RHA	01	GEX	Forage PzB - Belle Ferme	887 355	2 154 890	Formations fluvio-glaciaires du pays de Gex	177
06775X0010/BOURSI	RHA	01	ANGLEFORT	Piezomètre de Boursin - BRGM	870 540	2 108 160	Alluvions récentes du Rhône (marais de Chautagne et Lavours)	542
06512X0037/STREMY	RHA	01	ST REMY	Forage St Rémy - BRGM	819 980	2 136 280	Alluvions fluvio-glaciaires Couloir de Certines - nappe du SE de Bourg-en-Bresse	151a
06518X0026/P2	RHA	01	TOSSIAT	Forage de Tossiat (Mulaty)	829 960	2 130 600	Alluvions fluvio-glaciaires Couloir de Certines - nappe du SE de Bourg-en-Bresse	151a
06742X0001/VILLEN	RHA	01	VILLENEUVE	Forage de Villeneuve (Muzard) - BRGM	793 109	2 116 187	Cailloutis plocéno-quaternaires de la Dombes	151a
06993X0226/MEXI_2	RHA	01	MEXIMIEUX	Forage de Combe Mercier (Meximieux 2)	823 425	2 103 250	Alluvions fluvio-glaciaires de la Plaine de l'Ain	151f
08435X0010/NO8	RHA	26	SAOU	Forage le Pertuis	818 927	1 965 401	Petite plaine d'alluvions susjacentes aux calcaires	179
07948X0038/S	RHA	26	ROMANS-sur-Isère	Piézo. de Romans (Les Balmes - La Ferme)	810 313	2 009 638	Alluvions de l'Isère	152m
08184X0084/PZ1	RHA	26	VALENCE	piezomètre Valence 2 (Nord Ferme Agiron)	807 001	1 997 439	Alluvions fluvio-glaciaires de la Plaine de Valence	154a
08915X0026/PZ	RHA	26	NYONS	piezomètre de Nyons	821 830	1 931 610	Alluvions de l'Eygues	155a
09153X0024/S	RHA	26	PLAISANS	Piézo. d'Âygues-Astaud (Les Eyaliers)	836 645	1 918 840	Calcaires tithoniques des Baronnies	544e
07704X0079/S	RHA	26	MANTHES	Piézo. de la source de Manthes (Lapaillanche)	809 650	2 037 490	Alluvions fluvio-glaciaires de la Plaine de Valloire	152k
07944X0049/S	RHA	26	MARGES	Puit Deroux	812 155	2 018 705	Molasse miocène du Bas-Dauphiné - Terres Froides	152i
08188X0045/BERN	RHA	26	MONTMEYRAN	Piezomètre de Montmeyran (Bemoir)	808 450	1 986 990	Molasse miocène du Bas-Dauphiné - Plaine de Valence Sud / Drôme RD	152i
07464X0005/SM3	RHA	38	MOIDIEU-DETOURBE	Forage de Moidieu-Détourbe (Le Grand Champ)	810 150	2 058 550	Alluvions fluvio-glaciaires des Vallées de Vienne	152p
07703X0043/SDC	RHA	38	BOUGE-CHAMBALUD	forage de Bouge-Chambalud (Bel Air)	801 824	2 040 982	Alluvions fluvio-glaciaires de la Plaine de Valloire	152k
07476X0029/S	RHA	38	PENOL	piezomètre Bois des Burettes	823 560	2 044 566	Alluvions fluvio-glaciaires de la Plaine de Bièvre	152k
07266X0052/PS4	RHA	73	AITON	piezomètre d'Aiton	905 060	2 070 480	Alluvions de l'Isère en Combe de Savoie	325a
07494X0026/CRUET	RHA	73	CRUET	piezomètre de Cruet - BRGM	894 310	2 065 030	Alluvions de l'Isère en Combe de Savoie	325a
06741X0046/F1PLIO	RHA	69	ST GEORGES DE RENEINS	Forage F1 Plocène - BRGM	785 852	2 118 865	Plocène du Val-de-Saône	540b
06505X0080/FORC	RHA	69	TAPONAS	Piezomètre de Taponas	787 450	2 129 350	Plocène du Val-de-Saône	540c
06995C0271/S	RHA	69	GENAS	piezomètre d'Azieu	810 100	2 086 770	Alluvions fluvio-glaciaires du couloir de Meyzieu	152c
06995C0208/S1	RHA	69	GENAS	Piezomètre des Bouvarets	810 920	2 084 985	Alluvions fluvio-glaciaires du couloir de Meyzieu	152c
07224X0106/S	RHA	69	ST PRIEST	piezomètre d'Heyrieux (Cheval-Blanc)	806 760	2 078 920	Alluvions fluvio-glaciaires de la Plaine de l'est Lyonnais - couloir d'Heyrieux	152e
07231C0252/BUCLAY	RHA	69	HEYRIEUX	piezomètre de Buclay	810 850	2 074 700	Alluvions fluvio-glaciaires de la Plaine de l'est Lyonnais - couloir d'Heyrieux	152e
07223C0113/S	RHA	69	CORBAS	piezomètre de Corbas (Pillon)	799 840	2 075 150	Alluvions fluvio-glaciaires de la Plaine de l'est Lyonnais - couloir d'Heyrieux (Mions)	152e
07221D0023/S	RHA	69	VOURLES	Piezomètre de Millery	788 520	2 075 240	Alluvions fluvio-glaciaires du Garon	621d
09934X0087	PACA	13	ST MARTIN DE CRAU	Le Mas d'Archimbaud (P18B)	799 788	1 851 732	Plaine de la Crau	157
10193X0151	PACA	13	ISTRES	Peyre-Estève (P29B)	807 453	1 841 949	Plaine de la Crau	157

Indicateur national	Niveau des nappes	Evolution récente	Commentaires
	2	B	Les niveaux piézométriques de la nappe des grès du Trias inférieur non captive du bassin versant de la Saône demeurent en baisse en mars. A Plombières-les-Bains le niveau piézométrique reste supérieur à la normale et à Relanges il est encore inférieur à la normale.
	4	B	
IG n°23	0	I	Problème technique de télétransmission.
	4	S	Le niveau de la nappe des cailloutis plocènes de la forêt deChaux est stable au droit d'Oussière. La période de retour de cette nappe est comprise entre 5 ans et 10 ans humide.
	3	H	La nappe des alluvions du Doubs à Molay est en légère hausse. La période de retour de cette nappe est comprise entre 2,5 ans sec et 2,5 ans humide.
	4	H	La nappe des alluvions de l'Arlier et du Drugeon est en hausse . La période de retour de cette nappe est comprise entre 5 et 10 ans humide.
	3	B	La nappe des alluvions fluvio-glaciaires du Breuchin a un niveau légèrement en baisse. La période de retour de cette nappe est comprise entre 2,5 ans sec et 2,5 ans humide.
	4	S	Le niveau de la nappe des alluvions profondes de la nappe de la Tille est stable. La période de retour de cette nappe est comprise entre 5 ans et 10 ans ans humide.
	4	S	Le niveau de la nappe libre de Dijon est stable sur les points d'eau de Chenove. La période de retour de cette nappe, au niveau de Chenove est comprise entre 5 ans et 10 ans humide.
	3	S	La nappe de Dijon-Sud est stable. La période de retour de cette nappe est comprise entre 2,5 ans sec et 2,5 ans humide.
	2	S	La nappe libre calcaire sous alluvions de la Tille est stable . La période de retour de cette nappe est comprise entre 2,5 ans et 5 ans ans sec.
	3	H	La nappe du Val de Saône a un niveau légèrement en hausse. La période de retour de cette nappe est comprise entre 2,5 ans sec et 2,5 ans humide.
IG n°24	4	H	La nappe du Pays de Gex repart en hausse pendant tout le mois de Mars, à l'occasion d'une recharge quasi-continue. Ses niveaux en hausse se maintiennent à des valeurs élevées pour la saison (supérieurs aux hautes-eaux quinquennales), selon une dynamique conforme à la période. La situation relative de la nappe ne change pas.
	2	B	La nappe des alluvions de la plaine du Rhône perd du volume à l'occasion de ce dernier mois, malgré un épisode de recharge les premiers jours. Ses niveaux s'inscrivent à la baisse en restant proches des valeurs quinquennales de basses-eaux pour la saison. La situation relative de la nappe ne change pas.
	5	B	La nappe des dépôts plocéno-quaternaires de la Dombes-Bresse montre une dynamique contrastée sur ce dernier mois : elle se redresse encore en son aval, tandis que son amont se stabilise repart en tendance baissière (faible). Ses niveaux fléchissent déjà un peu à l'amont tandis qu'ils restent en hausse continue à l'aval (conformément au comportement saisonnier habituel), s'approchant partout des hautes-eaux décennales pour la saison. La situation relative ne change pas par rapport au mois précédent.
	4	H	La nappe des cailloutis de la Dombes prolonge un peu sa recharge durant le mois de Mars. En hausse continue, ses niveaux progressent au dessus des hautes-eaux décennales de saison. La situation relative évolue favorablement par rapport au mois précédent.
	5	H	La nappe des alluvions fluvio-glaciaires de la plaine de l'Ain confirme sa tendance baissière durant ce dernier mois, interrompue par un bref épisode de recharge. Ses niveaux fléchissent sensiblement, en s'approchant des normales de saison. La situation relative de la nappe se dégrade par rapport au mois précédent.
	3	B	La nappe du synclinal de Saou (système mixte karst-alluvions) perd un peu de volume sur le mois, avec une recharge qui s'amorce toutefois la dernière quinzaine. Après avoir atteint de hauts niveaux le mois dernier, ses niveaux restent désormais un peu au-dessus des normales de saison. La situation relative de la nappe se dégrade.
IG n°25	5	S	La nappe des alluvions anciennes de l'Isère en Plaine de Valence reste encore très stable durant Mars. Ses niveaux oscillent faiblement, en maintenant d'égales valeurs de très hautes-eaux (plus que décennales) pour la saison. Sa situation relative se maintient.
	5	B	La nappe des alluvions anciennes en Plaine de Valence s'inscrit dans une faible tendance de baisse sur le mois de mars. Ses niveaux fléchissent très lentement mais en continu, se maintenant à de très hautes valeurs saisonnières (hautes-eaux plus que décennales). La situation relative de la nappe n'évolue pas par rapport au mois précédent.
	5	B	La nappe d'accompagnement de la rivière Eygues se vidange durant tout le mois de mars, après plus d'un mois de hausse. Ses niveaux baissent en continu en flirtant désormais avec les très hautes-eaux de saison (fréquence plus que décennale). La situation relative de la nappe n'évolue cependant pas par rapport au mois dernier.
	4	B	La nappe des calcaires karstifiés du Diois - Baronnies se vidange sur tout le mois de Mars. Ses niveaux baissent continuellement, en passant sous des valeurs de hautes-eaux (fréquence quinquennale) pour la saison. La situation relative de la nappe se dégrade sensiblement par rapport au mois dernier.
	4	S	La nappe des alluvions de la Plaine de Valloire reste relativement stable sur le dernier mois, avec des niveaux en faible baisse sur la première quinzaine, puis qui se relèvent d'autant et aussi lentement sur la dernière quinzaine de mars. Ces derniers restent installés à hauteur de hautes-eaux de saison (fréquence quinquennale). La situation relative ne change pas.
IG n°25	3	S	La nappe de la molasse Miocène reste assez stable dans sa partie nord, mais repart en baisse plus au sud, durant le mois de mars. Partis de très hauts, ses niveaux restent installés à des valeurs supérieures aux normales de saison (très supérieures et historiques en plaine de Valence, où la baisse est plus sensible). La situation relative de la nappe ne change pas par rapport au mois dernier.
	5	B	La nappe des alluvions fluvio-glaciaires des vallées de Vienne se maintient à de très hauts niveaux, sans grandes fluctuations sur le mois de mars. Après une faible hausse, elle reprend des niveaux équivalents à ceux du début de mois (valeurs plus que décennales pour la saison). La situation relative de la nappe n'évolue pas.
	4	S	Les nappes du Bas Dauphiné en Plaine de Bièvre-Valloire tendent à se stabiliser durant mars, en maintenant un stock haut. Les niveaux de hautes-eaux saisonnières (supérieurs aux valeurs quinquennales) progressent encore un peu en Valloire et restent constants en Bièvre. La situation relative n'évolue pas par rapport au dernier mois.
	4	H	
	3	B	La nappe d'accompagnement de l'Isère en Combe de Savoie poursuit sa baisse en mars, malgré un épisode de recharge de début de mois. Ses niveaux fléchissent nettement sur le mois et s'abaissent sous les valeurs médianes de saison. Cette dynamique contraire à la période contribue à dégrader encore sa situation relative par rapport au mois dernier.
IG n°24	2	B	
	3	B	La nappe du Plocène du Val de Saône poursuit sa tendance baissière durant Mars, malgré une recharge (faible) de début de mois. Les niveaux baissent encore sensiblement en passant sous les valeurs médianes de saison. La situation relative de la nappe se maintient néanmoins par rapport à Février.
	3		
	5	H	La nappe de l'Est Lyonnais dans le couloir de Meyzieu poursuit sa progression à la hausse en Mars, en ralentissant son rythme de recharge. Ses niveaux progressent un peu avant de se stabiliser, toujours au dessus de très hauts niveaux de saison (hautes-eaux plus que décennales). La situation relative n'évolue pas par rapport au mois précédent.
	5	H	
	5	S	La nappe de l'Est Lyonnais dans le couloir d'Heyrieux reste encore bien stable sur le mois, évoluant toujours à de hauts niveaux saisonniers. Ces derniers fléchissent très lentement en partie centrale et à l'aval du couloir, en restant proches des hautes-eaux décennales. La situation relative n'évolue pas par rapport au mois précédent.
	5	S	
	5	B	
	4	H	La nappe des alluvions fluvio-glaciaires de la vallée du Garon prolonge encore sa recharge durant mars, avant de se stabiliser sur la fin de mois. Ses niveaux se redressent un peu, en conservant des valeurs de hautes-eaux (supérieures à fréquence quinquennale). La situation relative de la nappe n'évolue pas.
	4	S	Grande stabilité des niveaux durant le mois de mars et par rapport au mois de février. Pas de crue visible, et pas de baisse piézométrique sensible. Les niveaux de mars 2015 sont tout à fait similaires à ceux de mars 2014. Par rapport aux statistiques, la nappe de la Crau est en position haute (niveaux supérieurs au quinquennal humide).
	4	S	

Code BSS (indice / désignation)	Région	Dépt.	Commune	Lieu-dit (ou nom du point)	Lambert 2 Etendu (m)		Entité hydrogéologique (Réf BDRHF v1)		Indicateur national	Niveau des nappes	Evolution récente	Commentaires	
					X	Y	Nom	Code					
09952X0082	PACA	13	MEYRARGUES	Péage Pont de Pertuis	857 870	1 853 429	Alluvions de la basse Durance	329f		4	H	La nappe de la basse Durance a peu varié durant le mois de mars. Les niveaux journaliers se situent dans la continuité de ceux de février 2015, et plus d'un mètre en dessous de ceux de mars 2014 (qui étaient assez élevés). Situation similaire dans la moyenne vallée de la Durance. Les niveaux médians ne sont jamais atteints et les quinquennaux secs parfois dépassés par le bas.	
09952X0093	PACA	84	PERTUIS	Campagne Martelly	857 624	1 857 733	Alluvions de la basse Durance	329f		2	S		
09436X0138	PACA	05	LA BRILLANNE	Princesse	885 806	1 888 962	Alluvions de la Durance moyenne et amont et de ses affluents	329e		1	S		
09146X0074	PACA	84	CAMARET-SUR-AIGUES	Quartier Jonquier Morelle	801 046	1 909 656	Plaine d'Orange Sud	155b	IG n°30	4	S	Les nappes des plaines de Vaucluse n'ont connu en mars 2015 ni crue ni baisse significative. Leurs niveaux se situent dans le prolongement de ceux de février 2014, et sont tout à fait similaires à ceux de mars 2014. Sur un plan statistique, les niveaux médians sont dépassés, les courbes se situant généralement à des niveaux proches à légèrement inférieurs aux niveaux quinquennaux secs.	
10247X0096	PACA	83	FREJUS	L'Argens	952 806	1 834 907	Alluvions de l'Argens	332		0	I	Les données disponibles montrent que, quelle que soit la nappe, il n'y a pas de pic de crue ni de baisse particulière (ou alors très légère) durant le mois de mars. Les niveaux sont dans la continuité de ceux de février, et sensiblement identiques à ceux de mars 2014. Par rapport aux statistiques, la médiane n'est jamais atteinte, les niveaux moyens de mars 2015 se situant entre les niveaux quinquennaux secs et médians.	
10651X0293	PACA	83	HYERES	Le Moulin Premier (P134B)	911 548	1 799 348	Alluvions du Gapeau	333		5	B		
09995X0028	PACA	06	PEGOMAS	Le Boutéou	970 976	1 853 723	Alluvions de la Siagne	331		4	B		
09724X0023	PACA	06	GILETTE	Le Devens (P2)	990 486	1 882 246	Alluvions de la basse vallée du Var	330		2	S		
09441X0013	PACA	04	MALLEMOISSON	Le Stade	903 460	1 900 062	Alluvions de la Bléone	329c		2	B		
09172X0094/P	PACA	04	SISTERON	Puits Isnard	887 732	1 919 317	Alluvions de la haute Durance et du Buech	329b		4	H		
08472X0007	PACA	05	LA ROCHE DE RAME	Usine	935 976	1 981 126	Mont Genève, Casse déserte	546j		2	S		
08466X0009	PACA	05	ST JEAN ST NICOLAS	Les Ricoux	907 683	1 970 754	Trièves, Beaumont, Champsaur Sud	545a		2	H		
08944X0003	PACA	04	LE LAUZET - UBAYE	La source Pruneyret	925 470	1 945 810	Queyras - Parpailon	546k		0	I		
09672X0036	PACA	84	FONTAINE-DE-VAUCLUSE	Sorgomètre, vasque supérieure	824 783	1 883 573	Monts du Vaucluse	162		0	I		
10453X0295	PACA	83	LA ROQUEBRUSSANNE	Chemin de Cuers	896 946	1 820 685	Provence Est (aquifère karstique de la Loube)	552	IG n°29	4	S	Les données disponibles montrent que les débits des sources et les niveaux mesurés dans les aquifères karstiques n'ont pas connu de crue, et que la vidange de ces aquifères semble commencer à s'esquisser. Les niveaux moyens de mars demeurent cependant relativement hauts par rapport aux valeurs statistiques (au dessus des débits ou niveaux quinquennaux humides pour la plupart du temps).	
10241X0173	PACA	83	LA MOTTE	Combaron	939 967	1 842 688	Plan de Carjuers - région de Fayence	168c		5	S		
09978X0023	PACA	83	CHATEAUDOUBLE	Nartuby, Source des Frayères	930 341	1 851 639	Plan Carjuers - Bois de Frannes	167d		0	I		
10452X0232	PACA	83	MAZAUGUES	source Le Caramy	891 265	1 822 558	Massifs calcaires de Sainte Baume	164a		0	I		
09405X0229	LRO	30	ROCHEFORT DU GARD	piézomètre de Rochefort	790 541	1 890 360	Calcaire urgonien des garrigues du Gard	149a2		4	S	En contexte de précipitations significatives les niveaux piézométriques sont stables par rapport au mois de février. La situation de l'aquifère reste favorable.	
09395X0065	LRO	30	SAINTE ANASTASIE *	piézomètre Nicolas	764 488	1 884 139	Calcaire urgonien des garrigues du Gard BV du Gardon	149b		2	B	Malgré le contexte de précipitations significatives, les niveaux piézométriques sont en baisse par rapport au mois précédent. La situation de l'aquifère reste défavorable.	
09388X0052	LRO	30	LA CALMETTE	piézomètre de Vignot	754 727	1 883 488	Alluvions moyens du Gardon	336c		3	B		
09652X0199	LRO	30	NÎMES / COURBESSAC *	Piezomètre Courbessac	766 813	1 874 520	Alluvions quaternaires ey Villafranchiennes de la Vistrenque	150a		4	B		
09917X0192	LRO	34	MARSILLARGUES / P5	Piezomètre P5CEHM	748 165	1 849 435	Aquifère Villafranchien de mauguio Lunel	328e	IG n°26	3	B		Malgré le contexte de précipitations significatives sur les secteurs gardois et héraultais, les niveaux piézométriques sont stables ou en baisse. Les situations sont stables. Elles sont comprises entre des situations défavorables à favorables pour le secteur gardois et entre normale et favorable sur le secteur héraultais.
09915X0181	LRO	34	SAINT-AUNES	piézomètre de Saint Aunes	732 653	1 849 259	Aquifère villafranchien de Mauguio Lunel	328e		4	B		
09907X0321	LRO	34	ST JEAN DE VEDAS *	Piezomètre Midi Libre	722 815	1 842 290	Calcaires jurassiques PII occidental de Montpellier - Gardiole Etang de Thau	143c		4	B		
10162X0226	LRO	34	COURNONSEC *	piézomètre de Vène	709 938	1 837 862	Calcaire jurassique pli ouest de Montpellier	143a		3	B		
10157X0104	LRO	34	FLORENSAC *	piézomètre 1777	689 086	1 822 874	Alluvions de l'Hérault	334b		1	B		Malgré le contexte de précipitations significatives, les niveaux piézométriques sont en baisse par rapport au mois précédent. La situation de l'aquifère reste défavorable.
10405X0124	LRO	34	SERIGNAN	Sérignan F17	676 631	1 812 950	Alluvions de l'Orb	336	IG n°27	4	B		
10405X0171	LRO	34	VALRAS	Valras	676 325	1 804 274	Astien d'Agde Valras	226		3	B		
10592X0012	LRO	11	COUFFOULENS	piézomètre de Couffoulens	597 806	1 794 807	Alluvions de l'Aude	337b		3	H		
10396X0162	LRO	11	MOUSSAN *	piézomètre de Védillan	652 664	1 803 412	Alluvions de la basse vallée de l'Aude	337a		4	H	En contexte de précipitations importantes, les niveaux piézométriques sont en hausse par rapport au mois précédent. La situation de l'aquifère s'améliore et devient favorable.	
10911X0219	LRO	66	ST HIPPOLYTE	Piezomètre Hippo	650 708	1 752 923	Alluvions quaternaires du Roussillon	146		3	B	Malgré le contexte de fortes précipitations, le niveau piézométrique est en baisse. La situation de l'aquifère se détériore et devient normale.	
10972X0003	LRO	66	ALENYA	Alenya	652 718	1 737 620	Alluvions quaternaires du Roussillon	146		5	H	En contexte de très fortes précipitations, le niveau piézométrique est en hausse. La situation de l'aquifère s'améliore et devient excédentaire.	
10908X0263	LRO	66	PERPIGNAN	Piezomètre Figuières	641 491	1 742 808	Aquifère pliocène du Roussillon	225	IG n°28	4	S	En contexte de très fortes précipitations, le niveau piézométrique est en hausse. La situation de l'aquifère s'améliore et devient favorable.	
10912X0112	LRO	66	LE BARCARES PN3	Piezomètre Barcarès plage N3	657502	1754148	Aquifère pliocène supérieur du Roussillon	225		2	B	Malgré le contexte de fortes précipitations intervenues en fin de mois, le niveau piézométrique est en baisse. La situation de l'aquifère se détériore et devient défavorable.	